



Noah

D'Onofrio C., 2015. Noah bianca. In: Italian Vitis Datababase. ISSN 2282-006X
 release 29/05/2015, ultimo aggiorn. 20/06/2015 url <http://vitisdb.it/varieties/show/1116>

Informazioni generali gestite da

Dipartimento di Scienze Agrarie, Alimentari e Agro-ambientali (DiSAAA-a) - Università di Pisa

Ringraziamenti

Unione Comuni di Garfagnana; Fondazione AGER (AGER Fundation)

Informazioni botaniche

nome Noah

tipo di origine incrocio interspecifico

specie Vitis labrusca

gruppo di varietà non disponibile

genere Vitis

sottospecie non disponibile

vitigno da vino, tavola

breeder non disponibile

istituzione ibridatore non disponibile

anno di incrocio non disponibile

anno di selezione non disponibile

trueness to type accertato con rilievi morfologici e microsatelliti

codice IVD-var_160

True-name

confermato **si**

Bibliografia correlata (1)

| autori | anno | titolo | rivista | citazione |
|--|------|--|---------|----------------------------|
| Robinson J., Harding J., Vouillamoz J. | 2012 | Wine Grapes. A complete guide to 1368 vine varieties, including their origins and flavours | | Allen Lane - Penguin Books |

Registrazione

iscritto al Registro Nazionale delle Varietà di Viti si

codice 702

nome ufficiale Noah B.

Sinonimi

nessun sinonimo disponibile per Noah

Accessione principale

accessione principale Noah b (Garf-GR)

componente che l'ha inserita Dipartimento di Scienze Agrarie, Alimentari e Agro-ambientali (DiSAAA-a) - Università di Pisa

Accessioni standardizzate (1)

- Noah b (Garf-GR) - Dipartimento di Scienze Agrarie, Alimentari e Agro-ambientali (DiSAAA-a) - Università di Pisa

Tutte le accessioni (1)

- Noah b (Garf-GR) - Dipartimento di Scienze Agrarie, Alimentari e Agro-ambientali (DiSAAA-a) - Università di Pisa

Cloni omologati

Nessun clone disponibile per

Profilo microsatellite standardizzato

| loci: | loci predefiniti (9) | | | | | | | | | | | | | | | | | |
|-------------|------------------------|-----|-------|-----|-------|-----|--------|-----|---------|-----|---------|-----|--------|-----|--------|-----|--------|-----|
| | VVS2 | | VVMD5 | | VVMD7 | | VVMD27 | | VrZAG62 | | VrZAG79 | | VVMD25 | | VVMD28 | | VVMD32 | |
| locus SSR: | A1 | A2 | A1 | A2 | A1 | A2 | A1 | A2 | A1 | A2 | A1 | A2 | A1 | A2 | A1 | A2 | A1 | A2 |
| allele: | 133 | 143 | 249 | 249 | 235 | 255 | 185 | 187 | 182 | 206 | 249 | 259 | 240 | 250 | 248 | 248 | 251 | 271 |
| dimensione: | | | | | | | | | | | | | | | | | | |

Vi sono altri loci consultabili online

Immagini



germoglio



germoglio pagina superiore



germoglio pagina inferiore



foglia



foglia pagina superiore



foglia pagina inferiore



seno peziolare



grappolo



acino



vinacciolo

Riferimenti storici

Si ritiene che si sia originato spontaneamente in Illinois nel 1869 come semenzale del vitigno Taylor, che a sua volta è un idrido spontaneo *Vitis riparia* - *Vitis labrusca* (Robinson et al., 2012). Inoltre è uno dei parentali del 'Baco blanc' (Folle blanc x Noah) (De Souza Leão, 2008).

Diffusione & variabilità

In Europa fu inizialmente introdotto in Francia per le sue caratteristiche di tolleranza alla fillossera, dove poi è si è diffuso per la sua tolleranza ad alcuni patogeni fungini. Al momento è sporadicamente diffuso in Francia, Spagna e Portogallo, mentre è più popolare in Moldavia (Robinson et al., 2012). I lavori di analisi del profilo microsatelliti hanno evidenziato che in Spagna è conosciuto anche con il nome di Hondarribi Zuri (Ibañez et al., 2003; Robinson et al., 2012). E' sporadicamente diffuso in Italia nonostante sia stato iscritto al Registro nazionale delle varietà di Viti (1997), e recentemente è stato censito e caratterizzato in 'Garfagnana'.

Utilizzazione tecnologica

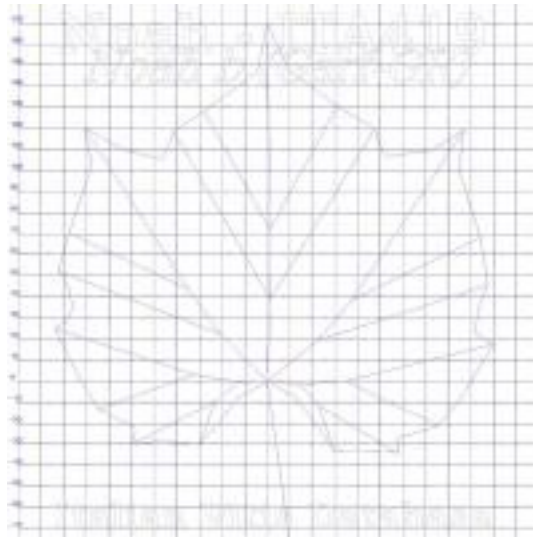
Ha germogliamento molto tardivo e matura in seconda-terza epoca. I grappoli sono piccoli e spargoli, con acini duchi verdognoli caratterizzato da forte sapote foxy. L'uva viene generalmente utilizzata come consumo fresco, e raramente vinificata.

Ampelografia

| OIV | descrizione | valore | | immagini |
|-----|---|--------|-------------------------|----------|
| 001 | Giovane germoglio: apertura dell'apice | 3 | semi-aperto | |
| 003 | Giovane germoglio: intensità della pigmentazione antocianica dei peli striscianti dell'apice | 5 | media | |
| 004 | Giovane germoglio: densità dei peli striscianti dell'apice | 7 / 9 | elevata / molto elevata | |
| 006 | Germoglio: portamento (prima della legatura) | 1 / 3 | eretto / semi-eretto | |
| 007 | Germoglio: colore del lato dorsale degli internodi | 1 | verde | |
| 008 | Germoglio: colore del lato ventrale degli internodi | 1 | verde | |
| 016 | Germoglio: numero di viticci consecutivi | 1 | 2 o meno | |
| 051 | Foglia giovane: colore della pagina superiore del lembo (4 a foglia) | 2 | giallo | |
| 053 | Foglia giovane: densità peli striscianti tra le nervature principali della pagina inferiore (4a foglia) | 9 | molto elevata | |

| | | | | |
|-------|--|-----|---|---|
| 067 | Foglia adulta: forma del lembo | 2 | cuneiforme |  |
| 068 | Foglia adulta: numero dei lobi | 1 | uno (foglia intera) | |
| 070 | Foglia adulta: distribuzione pigmentazione antocianica nervature principali pagina superiore | 1 | assente | |
| 072 | Foglia adulta: depressioni del lembo | 3/5 | deboli / medie | |
| 074 | Foglia adulta: profilo del lembo in sezione trasversale | 1 | piano | |
| 075 | Foglia adulta: bollosità della pagina superiore del lembo | 5 | media | |
| 076 | Foglia adulta: forma dei denti | 2 | entrambi i lati rettilinei | |
| 079 | Foglia adulta: grado di apertura / sovrapposizione dei bordi del seno peziolare | 3 | aperto | |
| 080 | Foglia adulta: forma della base del seno peziolare | 3 | a V | |
| 081-1 | Foglia adulta: denti del seno peziolare | 1 | assenti | |
| 081-2 | Foglia adulta: base del seno peziolare delimitata dalla nervatura | 1 | non delimitata | |
| 083-2 | Foglia adulta: denti nei seni laterali superiori | 1 | assenti | |
| 084 | Foglia adulta: densità dei peli striscianti tra le nervature principali sulla pagina inferiore del lembo | 3/5 | bassa / media | |
| 087 | Foglia adulta: densità dei peli eretti sulle nervature principali della pagina inferiore del lembo | 1 | nulla o molto bassa | |
| 094 | Foglia adulta: profondità dei seni laterali superiori | 1 | assente o molto poco profondo | |
| 151 | Fiore: organi sessuali | 3 | stami completamente sviluppati e gineceo completamente sviluppato |  |
| 152 | Infiorescenza: livello d'inserzione della 1 a infiorescenza | 2 | 3° e 4° nodo | |
| 155 | Tralcio: fertilità delle gemme basali (gemme 1-3) | 9 | molto alta (>1,9) | |
| 202 | Grappolo: lunghezza (escluso il peduncolo) | 1 | molto corto | |
| 204 | Grappolo: compattezza | 3/5 | spargolo / medio | |
| 206 | Grappolo: lunghezza del peduncolo del grappolo principale | 1 | molto corto | |
| 208 | Grappolo: forma | 1 | cilindrico | |
| 209 | Grappolo: numero di ali del grappolo principale | 1 | assenti | |
| 220 | Acino: lunghezza | 3/5 | corto / medio |  |
| 221 | Acino: larghezza | 3/5 | stretto / medio | |
| 223 | Acino: forma | 2 | sferoidale | |
| 225 | Acino: colore della buccia | 1 | verde giallo | |
| 231 | Acino: intensità della pigmentazione antocianica della polpa | 3 | debole | |
| 235 | Acino: consistenza della polpa | 3 | molto soda | |
| 236 | Acino: particolarità dell'aroma | 3 | aroma foxy | |
| 241 | Acino: sviluppo dei vinaccioli | 3 | completo | |

Ampelometria



foglia ampelometrica

OIV

| OIV | PDF | descrizione | valore | |
|-----|-----|--|--------|-----------------------------|
| | | | | |
| 601 | PDF | Foglia adulta: lunghezza della nervatura N1 | 7 | lunga (165 mm) |
| 602 | PDF | Foglia adulta: lunghezza della nervatura N2 | 9 | molto lunga (145 mm) |
| 603 | PDF | Foglia adulta: lunghezza della nervatura N3 | 7 | lunga (95 mm) |
| 604 | PDF | Foglia adulta: lunghezza della nervatura N4 | 9 | molto lunga (55 mm e oltre) |
| 605 | PDF | Foglia adulta: distanza dal seno peziolare al seno laterale superiore | 9 | molto lunga (110 mm) |
| 606 | PDF | Foglia adulta: distanza dal seno peziolare al seno laterale inferiore | 9 | molto lunga (90 mm) |
| 607 | PDF | Foglia adulta: angolo tra N1 e N2 misurato alla prima biforcazione | 5 | medio (46°-55°) |
| 608 | PDF | Foglia adulta: angolo tra N2 e N3 misurato alla prima biforcazione | 5 | medio (46°-55°) |
| 609 | PDF | Foglia adulta: angolo tra N3 e N4 misurato alla prima biforcazione | 5 | medio (46°-55°) |
| 610 | PDF | Foglia adulta: angolo tra N3 e la tangente tra il punto peziolare e l'estremità N5 | 7 | grande (56°-70°) |
| 612 | PDF | Foglia adulta: lunghezza del dente di N2 | 7 | lungo (18 mm) |
| 613 | PDF | Foglia adulta: larghezza del dente di N2 | 7 | largo (18 mm) |
| 614 | PDF | Foglia adulta: lunghezza del dente di N4 | 3 | corto (10 mm) |
| 615 | PDF | Foglia adulta: larghezza del dente di N4 | 7 | largo (18 mm) |
| 617 | PDF | Foglia adulta: distanza tra l'estremità di N2 e l'estremità della prima nervatura secondaria di N2 | 5 | media (46-55 mm) |

Superampelo

| distanze | | |
|---|---------|---------------------|
| descrittore | valore | deviazione standard |
| Lunghezza della nervatura N3 | 102.900 | 8.700 |
| Lunghezza della nervatura N2' | 145.400 | 12.500 |
| Distanza tra estremità di N2 e estremità della prima ramificazione laterale di N2 | 57.500 | 13.600 |
| Lunghezza della nervatura N3' | 98.400 | 6.800 |
| Distanza tra estremità di N2' e estremità della prima ramificazione laterale di N2' | 53.900 | 9.800 |
| Distanza dal seno peziolare al seno inferiore destro | 95.500 | 8.100 |
| Distanza dal seno peziolare al seno inferiore sinistro | 93.800 | 7.300 |
| Distanza dal seno peziolare al seno superiore destro | 119.500 | 9.500 |
| Distanza dal seno peziolare al seno superiore sinistro | 115.700 | 9.200 |
| Nervatura N3, lunghezza dal seno peziolare alla nervatura N4 | 14.700 | 3.400 |
| Nervatura N3', lunghezza dal seno peziolare alla nervatura N4' | 12.900 | 2.600 |
| Lunghezza della nervatura N5 | 22.200 | 3.300 |
| Lunghezza della nervatura N5' | 21.900 | 7.300 |
| Lunghezza della nervatura N4 | 55.200 | 6.500 |
| Lunghezza della nervatura N4' | 54.700 | 9.000 |
| Distanza tra punto peziolare ed estremità della nervatura N4 | 68.200 | 6.300 |
| Distanza tra punto peziolare ed estremità della nervatura N4' | 66.100 | 7.700 |
| Larghezza della foglia | 194.300 | 11.500 |
| Lunghezza della foglia | 210.600 | 18.800 |
| Lunghezza del picciolo | 87.400 | 9.100 |
| Lunghezza della foglia compreso il picciolo | 256.900 | 15.300 |
| Distanza tra gli estremi delle nervature N2 e N2' | 167.700 | 17.400 |
| Lunghezza della nervatura N1 | 169.400 | 13.400 |
| Distanza tra gli estremi delle nervature N4 e N4' | 117.900 | 9.000 |
| Distanza tra gli estremi delle nervature N3 e N3' | 196.200 | 12.100 |
| Lunghezza della nervatura N2 | 148.100 | 13.000 |
| Larghezza del seno peziolare / Distanza tra i punti SP e SP' | -43.200 | 5.100 |

| angoli | | |
|---|--------|---------------------|
| descrittore | valore | deviazione standard |
| Angolo tra N1 e N2 misurato alla prima biforcazione | 47.200 | 6.200 |
| Angolo tra N2 e N3 misurato alla prima biforcazione | 46.600 | 4.300 |
| Angolo tra N1 e N2' misurato alla prima biforcazione | 45.000 | 3.600 |
| Angolo tra N3 e N4 alla prima biforcazione di N3 | 53.300 | 5.700 |
| Angolo tra N2' e N3' misurato alla prima biforcazione | 48.500 | 5.200 |
| Angolo tra N1 e N2 misurato agli estremi delle nervature | 35.800 | 6.300 |
| Angolo tra N3' e N4' | 53.300 | 6.600 |
| Angolo tra N2 e N3 misurato agli estremi delle nervature | 43.800 | 5.600 |
| Angolo tra N1 e N2' misurato agli estremi delle nervature | 33.800 | 5.200 |
| Angolo tra N3 e N4 misurato agli estremi delle nervature | 40.400 | 3.600 |
| Angolo tra N2' e N3' misurato agli estremi delle nervature | 41.300 | 5.200 |
| Angolo di apertura del seno peziolare misurato a SP e SP' | 95.000 | 14.800 |
| Angolo tra N3' e N4' misurato agli estremi delle nervature | 41.500 | 5.300 |
| Angolo tra S e S' con centro in N1 | 75.700 | 5.500 |
| Angolo tra D e D' con centro in N1 | 82.300 | 6.200 |
| Angolo tra N3 e la tangente tra il punto peziolare e l'estremità N5 | 57.800 | 4.700 |
| Angolo tra I e I' con centro in N1 | 64.900 | 5.200 |
| Angolo tra N3' e la tangente tra il punto peziolare e l'estremità N5' | 59.600 | 10.600 |

| rapporti | | |
|--|-----------|---------------------|
| descrittore | valore | deviazione standard |
| Prodotto di Lunghezza e larghezza della foglia | 40974.000 | 5047.000 |
| Rapporto tra la lunghezza del picciolo OP e la lunghezza della nervatura N1 | 0.520 | 0.073 |
| Rapporto tra Lunghezza e larghezza della foglia | 1.086 | 0.097 |
| Rapporto tra la distanza dal seno la lunghezza della nervatura N2 | 0.808 | 0.039 |
| Media della base dei denti del lato sinistro | 4.841 | 0.000 |
| Media della base dei denti del lato destro | 10.301 | 0.000 |
| Media dell'altezza dei denti del lato sinistro | 4.990 | 0.000 |
| Rapporto tra l'altezza e la base del dente all'estremità della nervatura N4' | 0.557 | 0.063 |
| Media dell'altezza dei denti del lato destro | 2.804 | 0.000 |
| Rapporto tra l'altezza e la base del dente all'estremità della nervatura N2' | 1.039 | 0.201 |
| Rapporto tra l'altezza e la base del dente all'estremità della nervatura N4 | 0.475 | 0.081 |
| Rapporto tra l'altezza e la base dei denti del lato sinistro | 1.031 | 0.000 |
| Rapporto tra l'altezza e la base del dente all'estremità della nervatura N2 | 1.059 | 0.235 |
| Rapporto tra la somma degli angoli a' + b' e la somma della distanza tra il seno peziolare e il seno superiore sinistro OS' e il seno peziolare e il seno inferiore sinistro OI' | 0.008 | 0.001 |
| Rapporto tra l'altezza e la base dei denti del lato destro | 0.272 | 0.000 |
| Rapporto tra la lunghezza della nervatura N5' e la lunghezza della nervatura N1 | 0.128 | 0.039 |
| Rapporto tra la somma degli angoli a + b e la somma della distanza tra il seno peziolare e il seno superiore destro OS e il seno peziolare e il seno inferiore destro OI | 0.008 | 0.001 |
| Rapporto tra la lunghezza della nervatura N4' e la lunghezza della nervatura N1 | 0.323 | 0.044 |
| Rapporto tra la lunghezza della nervatura N5 e la lunghezza della nervatura N1 | 0.132 | 0.026 |
| Rapporto tra la lunghezza della nervatura N3' e la lunghezza della nervatura N1 | 0.581 | 0.047 |
| Rapporto tra la lunghezza della nervatura N4 e la lunghezza della nervatura N1 | 0.328 | 0.047 |
| Rapporto tra la lunghezza della nervatura N2' e la lunghezza della nervatura N1 | 0.859 | 0.062 |
| Rapporto tra la lunghezza della nervatura N3 e la lunghezza della nervatura N1 | 0.610 | 0.064 |
| Rapporto tra la distanza dal seno peziolare al seno inferiore sinistro OI' e la lunghezza della nervatura N3' | 0.953 | 0.025 |
| Rapporto tra la lunghezza della nervatura N2 e la lunghezza della nervatura N1 | 0.875 | 0.057 |
| Rapporto tra la distanza dal seno peziolare la lunghezza della nervatura N2' | 0.798 | 0.045 |
| Rapporto tra la distanza dal seno peziolare al seno inferiore destro OI e la lunghezza della nervatura N3 | 0.929 | 0.024 |

Bibliografia (4)

| autori | anno | titolo | rivista | citazione |
|--|------|---|---|---|
| De Souza Leão P.C., | 2008 | Recursos genéticos de videira (<i>Vitis</i> spp): Análise da diversidade e caracterização da coleção de germoplasma da empresa semi-árido. | | PhD thesis, Universidade Federal de Viçosa, Brasil. |
| D'Onofrio C., Fausto C., Matarese F., Materazzi A., Scalabrelli G., Fiorani F., Poli I., | 2015 | Genotyping of Grapevine Varieties from Garfagnana (Northern Tuscany): Evidence of a Historical Centre of Diversity | American Journal of Enology and Viticulture | Am. J. Enol. Vitic. 67: 120-126 |
| Ibañez J, Andres M.T., Molino A., Borrego J., | 2003 | Genetic study of key Spanish grapevine varieties using microsatellite analysis. | American Journal of Enology and Viticulture | 54: 22-30 |
| Robinson J., Harding J., Vouillamoz J. | 2012 | Wine Grapes. A complete guide to 1368 vine varieties, including their origins and flavours | | Allen Lane - Penguin Books |